

Couplage des écoulements souterrains avec le ruissellement

Méthodologie numérique et applications

Pierre Sochala*, Alexandre Ern**

* BRGM Orléans

**Ecole des Ponts, CERMICS, Paris

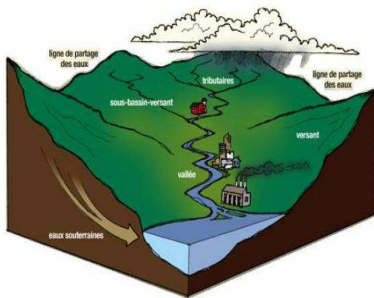
GDR Calcul

Paris, 5 - 6 Juillet 2011



Contexte général

Echelle plurikilométrique



Bassin versant :

- ▶ prédiction des crues
- ▶ pollution sols/nappes

Echelle décamétrique



Parcelle :

- ▶ remontée de nappe
- ▶ aménagements agricoles

Plan

Modélisation

Discretisation

Algorithme de couplage

Résultats

- Ecoulements souterrains
 - ▶ équations diphasique eau-air
 - ▶ équation de Richards

$$\partial_t[\theta(\psi)] - \nabla \cdot (K(\psi)\nabla(\psi + z)) = 0$$

ψ : charge hydraulique

$\psi \rightarrow -\infty$	\rightarrow	milieu désaturé
$\psi < 0$	\rightarrow	milieu insaturé
$\psi \geq 0$	\rightarrow	milieu saturé ($\theta = \theta_s$ et $K = K_s$)

- ▶ modèle de Green-Ampt

- Ecoulements souterrains
 - ▶ équations diphasique eau-air
 - ▶ équation de Richards

$$\partial_t[\theta(\psi)] - \nabla \cdot (K(\psi)\nabla(\psi + z)) = 0$$

ψ : charge hydraulique $\psi \rightarrow -\infty \rightarrow$ milieu désaturé
 $\psi < 0 \rightarrow$ milieu insaturé
 $\psi \geq 0 \rightarrow$ milieu saturé ($\theta = \theta_s$ et $K = K_s$)

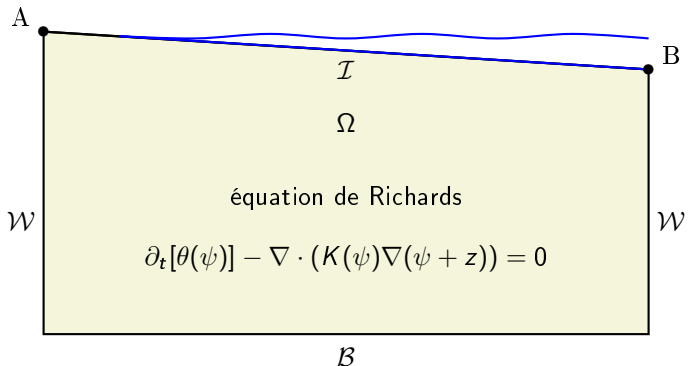
- ▶ modèle de Green-Ampt
- Ecoulements superficiels
 - ▶ équations de Navier–Stokes à surface libre
 - ▶ équations de Saint–Venant
 - ▶ approximation de l'onde cinématique

$h \geq 0$: hauteur d'eau

Systeme couplé

Onde cinématique ou Saint-Venant

$$\partial_t h + \partial_x \varphi(h, S) = f_{\text{sol}} + f_{\text{pluie}}$$



Ω : domaine souterrain, \mathcal{I} : interface, \mathcal{W} : parois latérales et \mathcal{B} : bas

Conditions de couplage

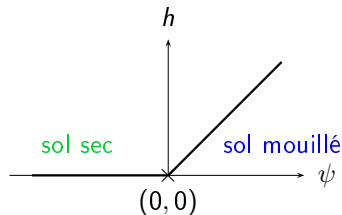
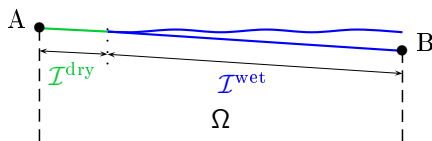
- ▶ Continuité de la pression et des flux d'eau
Singh et Bhallamudi 98
Esteves et al. 00
Dawson 06
Kollet et Maxwell 06
Beaugendre et al. 06
- ▶ Continuité des vitesses normales et condition de Beavers–Joseph
Jäger et Mikelic 00
Discacciati et al. 02 03
- ▶ Discontinuité de la pression
VanderKwaak et Loague 01

Conditions de couplage

1. Continuité du **flux d'eau** : $f_{\text{sol}} = v(\psi) \cdot n_{\Omega}$
2. Continuité de la **pression** : ensemble $\mathcal{A} \stackrel{\text{def}}{=} \{(\psi, h) \in \mathbb{R}^2, h = \psi_+\}$

Partition de l'interface \mathcal{I}

$$\mathcal{I}^{\text{wet}} \stackrel{\text{def}}{=} \{x \in \mathcal{I}, h(x) > 0\} \quad \text{and} \quad \mathcal{I}^{\text{dry}} \stackrel{\text{def}}{=} \{x \in \mathcal{I}, h(x) = 0\}$$



Plan

Modélisation

Discrétisation

Algorithme de couplage

Résultats

Discretisation spatiale de l'équation de Richards

- ▶ Différences finies (DF) - *Celia et Bouloutas 90, Woodward et Dawson 00*
- ▶ Volumes finis (VF) - *Manzini et Ferraris 04*
- ▶ Eléments finis (EF) - *Celia et Bouloutas 90, Lehmann et Ackerer 98*
- ▶ EF mixtes (EFM) - *Diersch et Perrochet 99, Knabner et Schneid 02*
- ▶ EF discontinus - *Bastian et Rivière 04, Klieber et Rivière 06*
 - localement conservative (VF et EFM)
 - ordre d'interpolation élevé \rightarrow p -raffinement (EF et EFM)
 - maillages non-coïncidants \rightarrow h -raffinement (VF)
 - structure bloc
 - coût numérique élevé

Formulation faible locale de la méthode SIPG

$$\int_{\tau} \partial_t [\theta(\psi_h)] \phi + \int_{\tau} K(\psi_h) \nabla \psi_h \cdot \nabla \phi + \int_{\partial\tau} K(\psi_h|_{\tau}) \nabla \phi \cdot n_{\tau} (F_{\psi} - \psi_h|_{\tau}) \\ + \int_{\partial\tau} F_u \cdot n_{\tau} \phi = - \int_{\tau} K(\psi_h) e_z \nabla \phi + \int_{\partial\tau} K(\psi_h|_{\tau}) e_z \phi n_{\tau}$$

$$\text{Flux scalaire } \widehat{F}_{\psi}|_F = \begin{cases} \{\psi_h\}_F & F \in \mathcal{F}_h^i \\ 0 & F \in \mathcal{F}_h^D \\ \psi_h & F \in \mathcal{F}_h^N \end{cases}$$

$$\text{Flux vectoriel } \widehat{F}_u|_F = \begin{cases} -\{K(\psi_h) \nabla \psi_h\}_F + \eta K_s d_F^{-1} \llbracket \psi_h \rrbracket_F n_F & F \in \mathcal{F}_h^i \\ -K(\psi_h) \nabla \psi_h + \eta K_s d_F^{-1} \psi_h n_{\Omega} & F \in \mathcal{F}_h^D \\ 0 & F \in \mathcal{F}_h^N \end{cases}$$

$\eta > 0 \rightarrow$ paramètre de pénalisation

$$\text{Réécriture } \int_{\tau} \partial_t [\theta(\psi_h)] \phi + a_{\tau}(\psi_h, \phi) = b_{\tau}(\psi_h, \phi)$$

Discretisation en temps - Backward Differentiation Formulae

$$\left(\frac{\partial \chi}{\partial t}\right)^n \stackrel{BDFq}{\simeq} \frac{1}{\delta t} \sum_{r=0}^q \alpha_r^q \chi^{n-r}$$

- Schéma implicite
- Inconditionnellement stable si les vp sont réelles négatives
- Facile d'implémenter des ordres élevés
- Plus rapide que les autres schémas implicites (DIRK, Adams)
- Initialisation
- Stockage

Discretisation en temps - Backward Differentiation Formulae

$$\left(\frac{\partial \chi}{\partial t}\right)^n \stackrel{BDFq}{\simeq} \frac{1}{\delta t} \sum_{r=0}^q \alpha_r^q \chi^{n-r} \stackrel{BDF2}{=} \frac{1}{\delta t} \left(\frac{3}{2} \chi^n - 2 \chi^{n-1} + \frac{1}{2} \chi^{n-2} \right)$$

- Schéma implicite
- Inconditionnellement stable si les vp sont réelles négatives
- Facile d'implémenter des ordres élevés
- Plus rapide que les autres schémas implicites (DIRK, Adams)
- Initialisation
- Stockage

Discretisation en temps - Backward Differentiation Formulae

$$\left(\frac{\partial \chi}{\partial t}\right)^n \stackrel{BDFq}{\simeq} \frac{1}{\delta t} \sum_{r=0}^q \alpha_r^q \chi^{n-r} \stackrel{BDF2}{=} \frac{1}{\delta t} \left(\frac{3}{2} \chi^n - 2 \chi^{n-1} + \frac{1}{2} \chi^{n-2} \right)$$

- Schéma implicite
- Inconditionnellement stable si les vp sont réelles négatives
- Facile d'implémenter des ordres élevés
- Plus rapide que les autres schémas implicites (DIRK, Adams)
- Initialisation
- Stockage

Système non-linéaire en ψ_b^n

$$\frac{\alpha_0^q}{\delta t} \int_{\tau} \theta(\psi_b^n) \phi + a_{\tau}(\psi_b^n, \phi) = b_{\tau}(\psi_b^n, \phi) - \sum_{r=1}^q \frac{\alpha_r^q}{\delta t} \int_{\tau} \theta(\psi_b^{n-r}) \phi$$

Discretisation en temps - Backward Differentiation Formulae

$$\left(\frac{\partial \chi}{\partial t}\right)^n \stackrel{BDFq}{\simeq} \frac{1}{\delta t} \sum_{r=0}^q \alpha_r^q \chi^{n-r} \stackrel{BDF2}{=} \frac{1}{\delta t} \left(\frac{3}{2} \chi^n - 2 \chi^{n-1} + \frac{1}{2} \chi^{n-2} \right)$$

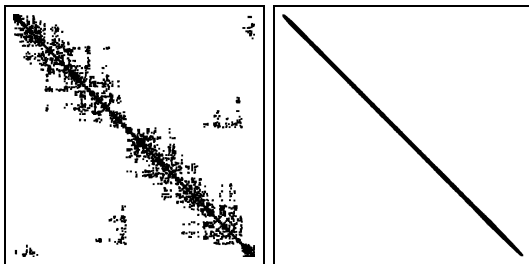
- Schéma implicite
- Inconditionnellement stable si les vp sont réelles négatives
- Facile d'implémenter des ordres élevés
- Plus rapide que les autres schémas implicites (DIRK, Adams)
- Initialisation
- Stockage

Système non-linéaire en ψ_b^n → linéarisation du terme $\theta(\psi_b^n)$

$$\frac{\alpha_0^q}{\delta t} \int_{\tau} \theta(\psi_b^n) \phi + a_{\tau}(\psi_b^n, \phi) = b_{\tau}(\psi_b^n, \phi) - \sum_{r=1}^q \frac{\alpha_r^q}{\delta t} \int_{\tau} \theta(\psi_b^{n-r}) \phi$$

Optimisation

- ▶ Renumérotation (Cuthill–McKee)

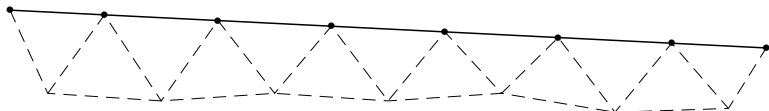


- ▶ initialisation d'ordre 2 : $\psi_h^{1,0} = \psi_h^0$
 $\psi_h^{2,0} = 2\psi_h^1 - \psi_h^0$
 $\forall n \geq 3, \psi_h^{n,0} = 3\psi_h^{n-1} - 3\psi_h^{n-2} + \psi_h^{n-3}$

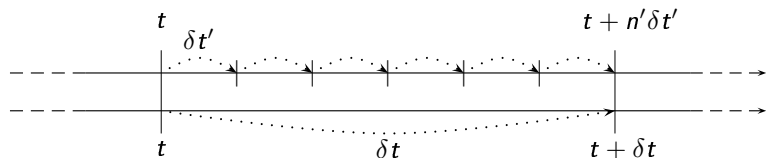
Diminution du temps CPU de 65%

Discretisation des écoulements de surface

- ▶ Schéma VF explicite : flux de Godunov pour l'onde cinématique
flux HLLC pour SV
- ▶ Trace du maillage \mathcal{T}_h sur l'interface \mathcal{I}



- ▶ Pas de temps $\delta t' \leq \delta t$ pour vérifier la condition CFL



Plan

Modélisation

Discretisation

Algorithme de couplage

Résultats

Notations

Partitionnement **non connexe** des faces \mathcal{F}_h l'interface \mathcal{I}

$$\mathcal{I}_h^{\text{wet}} \stackrel{\text{def}}{=} \{F \in \mathcal{F}_h, F \subset \mathcal{I}^{\text{wet}}\} \quad \text{et} \quad \mathcal{I}_h^{\text{dry}} \stackrel{\text{def}}{=} \{F \in \mathcal{F}_h, F \subset \mathcal{I}^{\text{dry}}\}$$

$\psi_h \leftarrow \text{Richards_BDFq}(\mathcal{I}_h^{\text{dry}}, \mathcal{I}_h^{\text{wet}}, \omega_v, \omega_\psi)$: résolution de l'équation de Richards par la méthode BDFqDG en imposant ω_v sur $\mathcal{I}_h^{\text{dry}}$ et ω_ψ sur $\mathcal{I}_h^{\text{wet}}$

$h_h \leftarrow \text{Ruissellement}(f_{\text{sol}}, f_{\text{pluie}})$: résolution de l'onde cinématique ou de Saint-Venant par une méthode de VF explicite

$v_h^* \leftarrow \text{Vitesse_Normale}(\mathcal{I}_h^{\text{dry}}, \mathcal{I}_h^{\text{wet}}, \omega_v, \omega_\psi, \psi_h^{n-1})$: évaluation de la vitesse normale à l'interface

$$v_h^*|_F \stackrel{\text{def}}{=} \begin{cases} \omega_v|_F & F \in \mathcal{I}_h^{\text{dry}} \\ v(\psi_h)|_F \cdot n_\Omega + \eta K_s d_F^{-1}(\psi_h|_F - \omega_\psi|_F) & F \in \mathcal{I}_h^{\text{wet}} \end{cases}$$

Algorithme de couplage

1. Initialisation

Prédiction du ruissellement avec $f_{\text{sol}} = 0$

2. Itérations

Partition de l'interface

→ une face mouillée peut devenir sèche mais pas l'inverse

→ changement de topologie au cours des itérations

Choix des CL suivant la hauteur d'eau

Résolution de l'équation de Richards

Evaluation du terme source f_{sol}

Correction de la hauteur d'eau ($f_{\text{sol}} \neq 0$)

3. Critère d'arrêt

$(\psi, h) \in \tilde{\mathcal{A}}$ (approximation en $\mathcal{O}(\delta t)$ de \mathcal{A})

→ pas d'oscillations

Algorithme de couplage à un pas

Entrées : ψ_h^{n-1} et h_h^{n-1}

$\tilde{h}_h^n \leftarrow \text{Ruisselement}(0, f_{\text{pluie}})$

$\rho = 0$ et $h_h^{n,1} = \tilde{h}_h^n$

Répéter

$\rho \leftarrow \rho + 1$

$\mathcal{I}_h^{\text{dry},n,\rho} \leftarrow \{e_i \in \mathcal{F}_h, \exists k \leq \rho, h_i^{n,k} < 0\}$ et $\mathcal{I}_h^{\text{wet},n,\rho} \leftarrow \mathcal{I}_h \setminus \mathcal{I}_h^{\text{dry},n,\rho}$

$\omega_v^{n,\rho} \leftarrow -\tilde{h}_h^n / \delta t$ sur $\mathcal{I}_h^{\text{dry},n,\rho}$ et $\omega_\psi^{n,\rho} \leftarrow \tilde{h}_h^n$ sur $\mathcal{I}_h^{\text{wet},n,\rho}$

$\psi_h^{n,\rho} \leftarrow \text{Richards_BDF1}(\mathcal{I}_h^{\text{dry},n,\rho}, \mathcal{I}_h^{\text{wet},n,\rho}, \omega_v^{n,\rho}, \omega_\psi^{n,\rho})$

$v_h^{*,n,\rho} \leftarrow \text{Vitesse_Normale}(\mathcal{I}_h^{\text{dry},n,\rho}, \mathcal{I}_h^{\text{wet},n,\rho}, \omega_v^{n,\rho}, \omega_\psi^{n,\rho}, \psi_h^{n,\rho})$

$\forall i \leq N_{\mathcal{I}}, h_i^{n,\rho+1} = \tilde{h}_h^n + \delta t / l_i \int_{e_i} v_h^{*,n,\rho}$

jusqu'à $\forall i \leq N_{\mathcal{I}}, h_i^{n,\rho} \geq 0$

Sorties : $\psi_h^n = \psi_h^{n,\rho}$ et $h_h^n = h_h^{n,\rho}$

Propriétés de l'algorithme

- ▶ Hauteur d'eau positive

$$\forall F \in \mathcal{I}_h, \quad h_h^n|_F \geq 0$$

- ▶ Approximation de l'ensemble admissible \mathcal{A}

$$\forall F \in \mathcal{I}_h^{\text{wet},n}, \quad \psi_h^n|_F = \tilde{h}_h^n|_F \quad \text{et} \quad \forall F \in \mathcal{I}_h^{\text{dry},n}, \quad \psi_h^n|_F \leq \tilde{h}_h^n|_F$$

- ▶ Multiples zones d'affleurements sur l'interface
- ▶ Partitionnement différent si infiltration sur l'ensemble de l'interface

Propriétés de l'algorithme

- ▶ Hauteur d'eau positive

$$\forall F \in \mathcal{I}_h, \quad h_h^n|_F \geq 0$$

- ▶ Approximation de l'ensemble admissible \mathcal{A}

$$\forall F \in \mathcal{I}_h^{\text{wet},n}, \quad \psi_h^n|_F = \tilde{h}_h^n|_F \quad \text{et} \quad \forall F \in \mathcal{I}_h^{\text{dry},n}, \quad \psi_h^n|_F \leq \tilde{h}_h^n|_F$$

- ▶ Multiples zones d'affleurements sur l'interface
- ▶ Partitionnement différent si infiltration sur l'ensemble de l'interface
- ▶ Y-a-t'il conservation de la masse totale du système?
 - ▶ DG pour les écoulements souterrains
 - ▶ VF pour les écoulements superficiels

Conservation de la masse - BDF1

Bilan de masse des écoulements souterrains avec la BDF1 :

$$V_{\text{grnd}}^n - V_{\text{grnd}}^{n-1} = (F_{\mathcal{I}}^n + F_{\mathcal{WB}}^n)\delta t + \mathcal{O}(\epsilon)$$

Bilan de masse des écoulements superficiels :

$$V_{\text{over}}^n - V_{\text{over}}^{n-1} = (-F_{\mathcal{I}}^n + F_{\text{ABr}}^n)\delta t$$

Bilan de masse total du système :

$$V^n - V^{n-1} = (F_{\mathcal{WB}}^n + F_{\text{ABr}}^n)\delta t + \mathcal{O}(\epsilon)$$

Conservation de la masse - BDF1

Bilan de masse des écoulements souterrains avec la BDF1 :

$$V_{\text{grnd}}^n - V_{\text{grnd}}^{n-1} = (F_{\mathcal{I}}^n + F_{\mathcal{WB}}^n)\delta t + \mathcal{O}(\epsilon)$$

Bilan de masse des écoulements superficiels :

$$V_{\text{over}}^n - V_{\text{over}}^{n-1} = (-F_{\mathcal{I}}^n + F_{\text{ABr}}^n)\delta t$$

Bilan de masse total du système :

$$V^n - V^{n-1} = (F_{\mathcal{WB}}^n + F_{\text{ABr}}^n)\delta t + \mathcal{O}(\epsilon)$$

Soient δV^n et ΔV^n les défauts de volume sur $[(n-1)\delta t, n\delta t]$ et $[0, N\delta t]$

$$\delta V^n \stackrel{\text{def}}{=} V^n - V^{n-1} - (F_{\mathcal{WB}}^n + F_{\text{ABr}}^n)\delta t \quad \text{et} \quad \Delta V^N \stackrel{\text{def}}{=} \sum_{n=1}^N \delta V^n$$

$$\text{Alors} \quad |\Delta V^N| \leq N\mathcal{O}(\epsilon)$$

Conservation de la masse - BDF2

Bilan de masse des écoulements souterrains avec la BDF2 :

$$\frac{3}{2}V_{\text{grnd}}^n - 2V_{\text{grnd}}^{n-1} + \frac{1}{2}V_{\text{grnd}}^{n-2} = (F_{\mathcal{I}}^n + F_{\mathcal{WB}}^n)\delta t + \mathcal{O}(\epsilon)$$

Bilan de masse des écoulements superficiels :

$$V_{\text{over}}^n - V_{\text{over}}^{n-1} = (-\Phi_{\mathcal{I}}^n + F_{\text{ABr}}^n)\delta t$$

Conservation de la masse - BDF2

Bilan de masse des écoulements souterrains avec la BDF2 :

$$\frac{3}{2}V_{\text{grnd}}^n - 2V_{\text{grnd}}^{n-1} + \frac{1}{2}V_{\text{grnd}}^{n-2} = (F_I^n + F_{\text{WB}}^n)\delta t + \mathcal{O}(\epsilon)$$

Bilan de masse des écoulements superficiels :

$$V_{\text{over}}^n - V_{\text{over}}^{n-1} = (-\Phi_I^n + F_{\text{ABr}}^n)\delta t$$

Relation de récurrence entre les flux

$$\Phi_I^n = \frac{2}{3}F_I^n + \frac{1}{3}\Phi_I^{n-1}$$

Conservation de la masse - BDF2

Bilan de masse des écoulements souterrains avec la BDF2 :

$$\frac{3}{2}V_{\text{grnd}}^n - 2V_{\text{grnd}}^{n-1} + \frac{1}{2}V_{\text{grnd}}^{n-2} = (F_I^n + F_{\text{WB}}^n)\delta t + \mathcal{O}(\epsilon)$$

Bilan de masse des écoulements superficiels :

$$V_{\text{over}}^n - V_{\text{over}}^{n-1} = (-\Phi_I^n + F_{\text{ABr}}^n)\delta t$$

Relation de récurrence entre les flux

$$\Phi_I^n = \frac{2}{3}F_I^n + \frac{1}{3}\Phi_I^{n-1}$$

Propriété de conservation de la masse

$$|\Delta V^N| \leq \frac{1}{2}|\delta V^1| + N\mathcal{O}(\epsilon)$$

Couplage à deux pas

Entrées : $\psi_h^{n-1}, \psi_h^{n-2}$ et h_h^{n-1}

⋮

Répéter

⋮

$$\omega_v^{n,p} \leftarrow -(3\tilde{h}_h^n / \delta t + v_h^{*,n-1}) / 2 \text{ sur } \mathcal{I}_h^{\text{dry},n,p}$$

$$\psi_h^{n,p} \leftarrow \text{Richards_BDF2}(\mathcal{I}_h^{\text{dry},n,p}, \mathcal{I}_h^{\text{wet},n,p}, \omega_v^{n,p}, \omega_\psi^{n,p}, \psi_h^{n-1}, \psi_h^{n-2})$$

⋮

$$\forall i \leq N_{\mathcal{I}}, h_i^{n,p} = \tilde{h}_i^n + \delta t / l_i \int_{e_i} (2v_h^{*,n,p} + v_h^{*,n-1}) / 3$$

⋮

jusqu'à $\forall i \leq N_{\mathcal{I}}, h_i^{n,p} \geq 0$

⋮

$$v_h^{*,n} = v_h^{*,n,p}$$

Sorties : ψ_h^n, h_h^n et $v_h^{*,n}$

Plan

Modélisation

Discretisation

Algorithme de couplage

Résultats

Validation de l'algorithme

Tests de Validation :

- asséchement
- ruissellement dû à la pluie
- injection d'eau dans le sol
- ruissellement hortonien
- transfert entre sillons

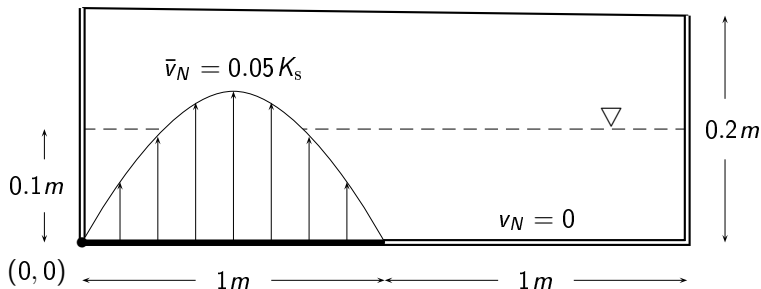
Test de comparaison avec les mesures expérimentales :

- Etude d'une parcelle drainée

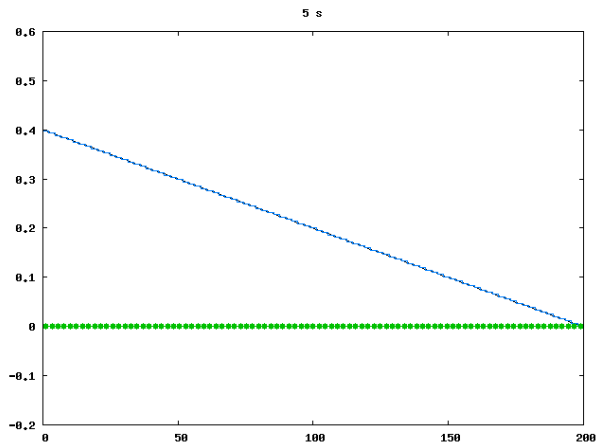
Injection d'eau

Cas test de 6 minutes avec $\delta t = \delta t' = 1s$

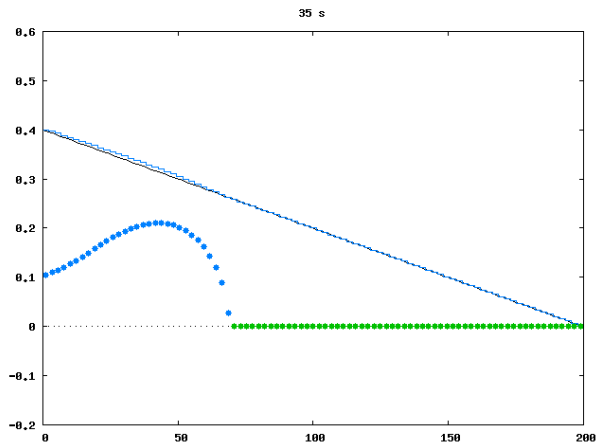
$$J = 0.2\%$$



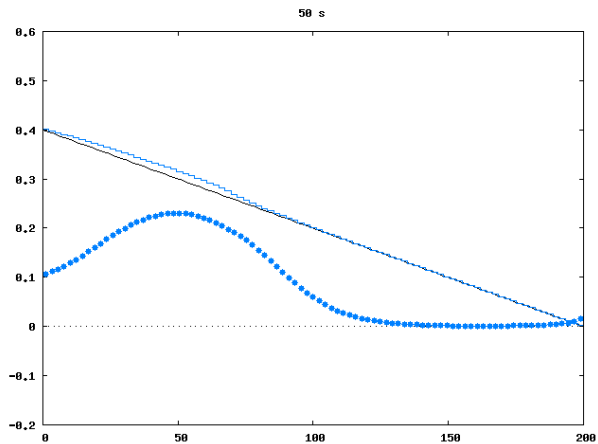
Injection d'eau - hauteur d'eau et flux



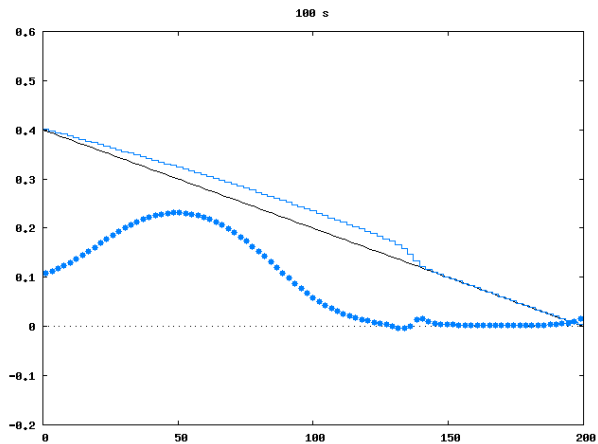
Injection d'eau - hauteur d'eau et flux



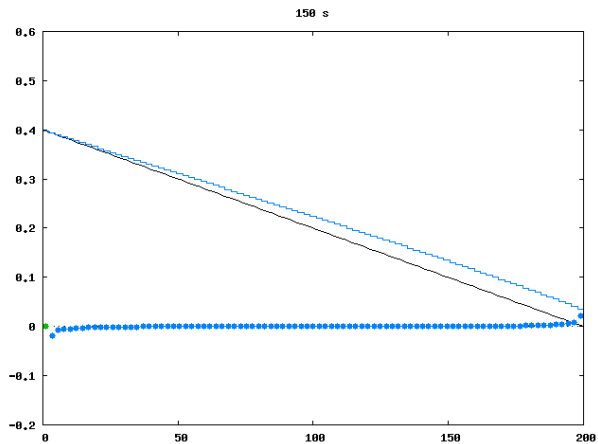
Injection d'eau - hauteur d'eau et flux



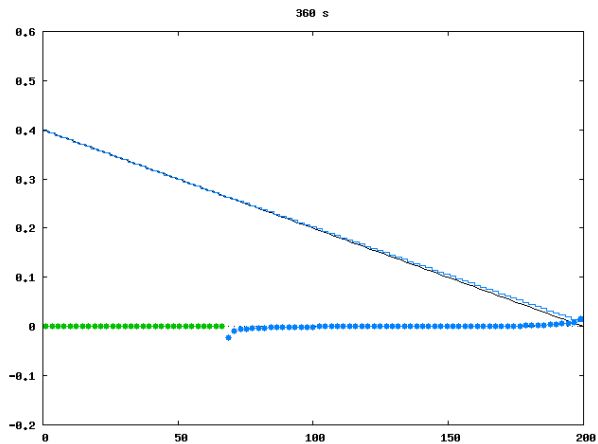
Injection d'eau - hauteur d'eau et flux



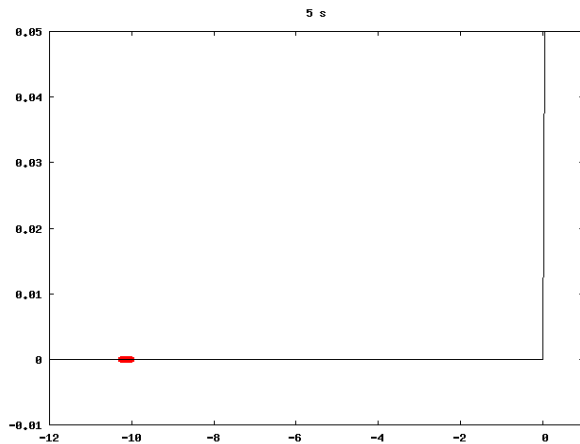
Injection d'eau - hauteur d'eau et flux



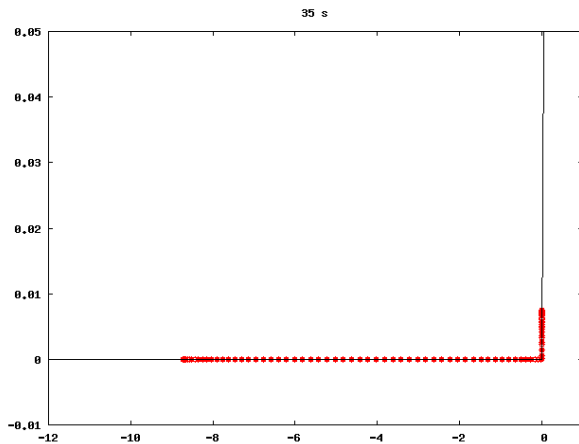
Injection d'eau - hauteur d'eau et flux



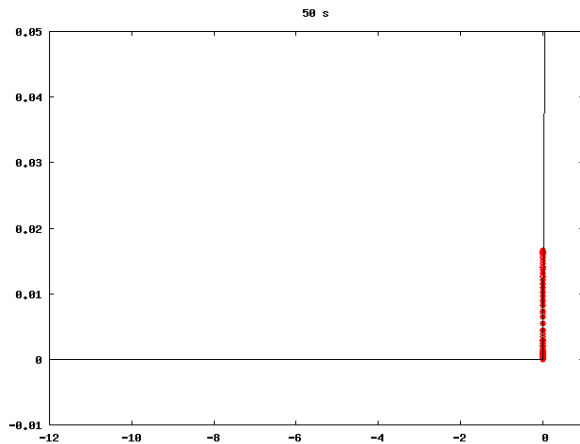
Injection d'eau - nuage de points



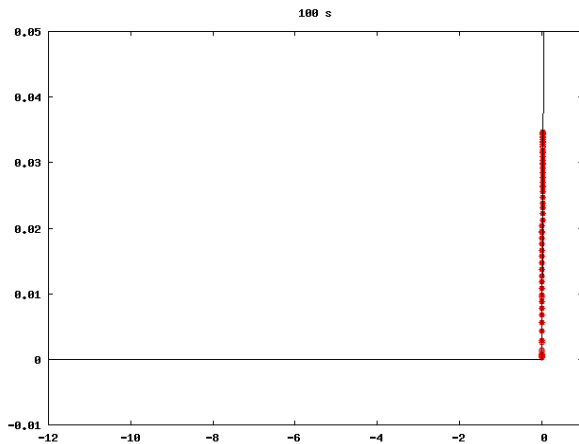
Injection d'eau - nuage de points



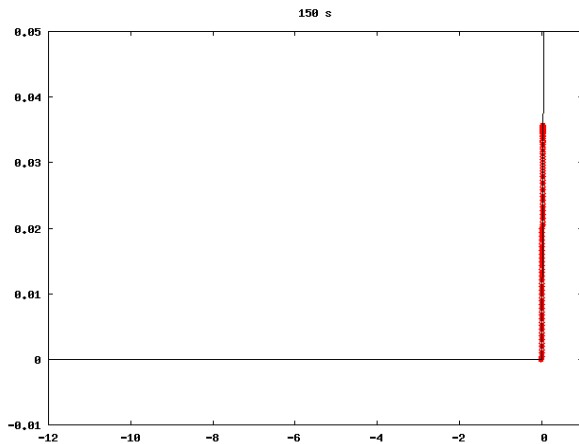
Injection d'eau - nuage de points



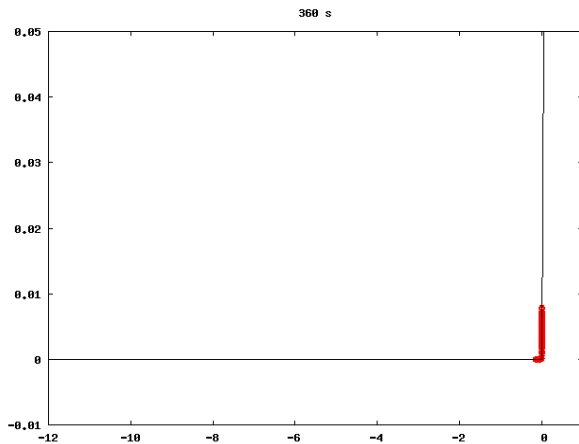
Injection d'eau - nuage de points



Injection d'eau - nuage de points

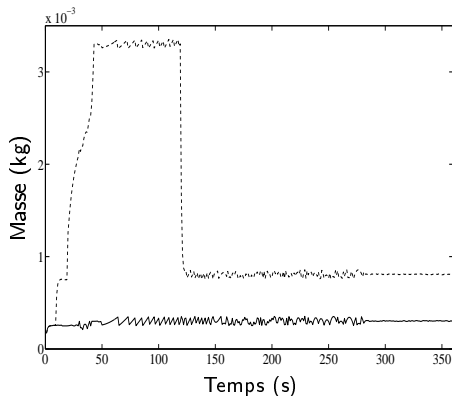


Injection d'eau - nuage de points



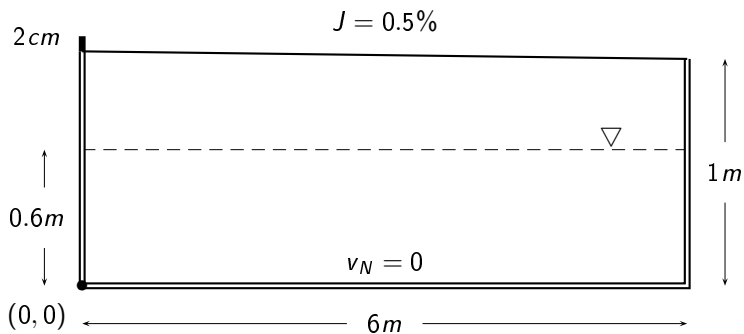
Injection d'eau

Erreurs sur la conservation de la masse avec la BDF2
sans (---) et avec (—) modification des flux

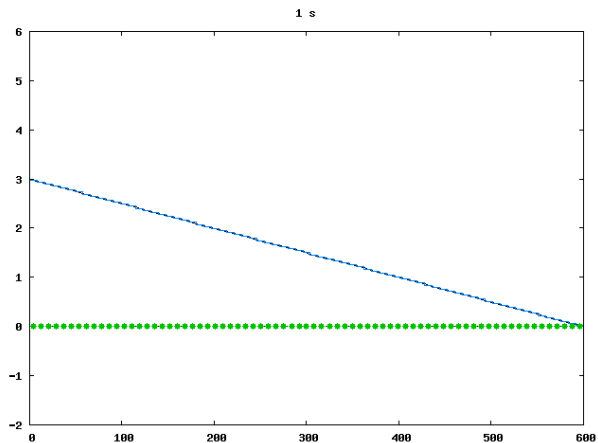


Ruissellement hortonien

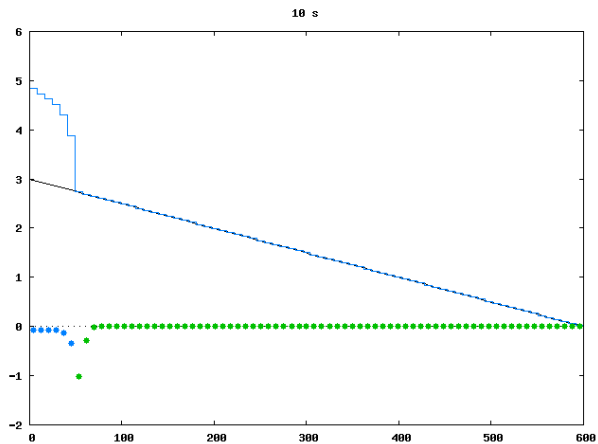
Cas test de 1 minute avec $\delta t = 1s$ et $\delta t' = 0.1s$



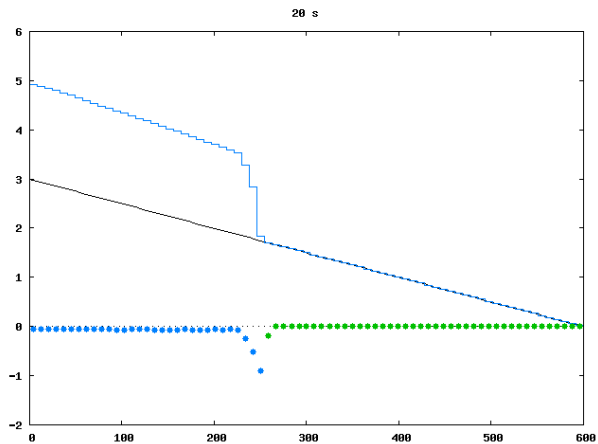
Ruissellement hortonien - hauteur d'eau et flux



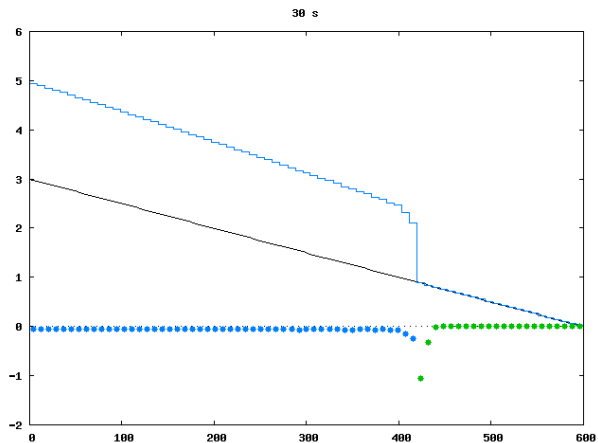
Ruissellement hortonien - hauteur d'eau et flux



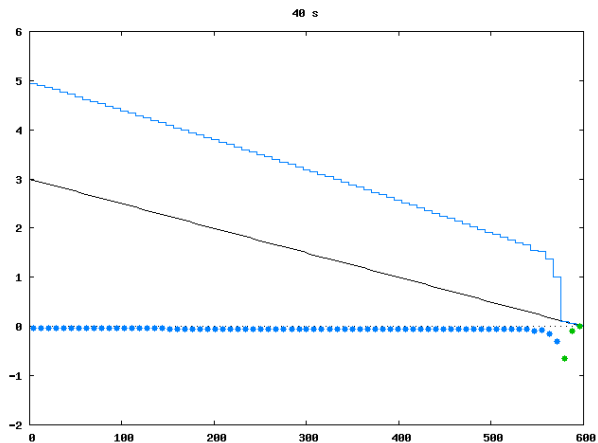
Ruissellement hortonien - hauteur d'eau et flux



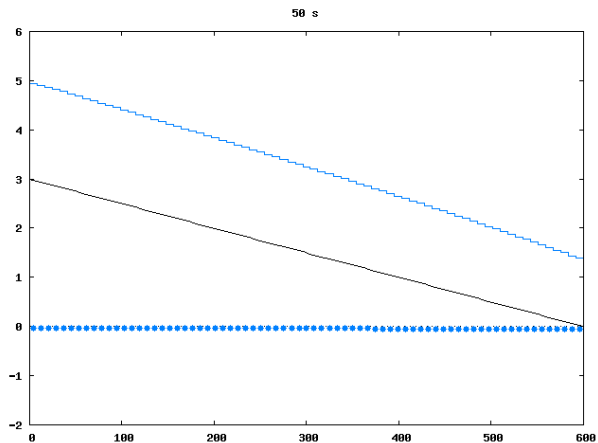
Ruissellement hortonien - hauteur d'eau et flux



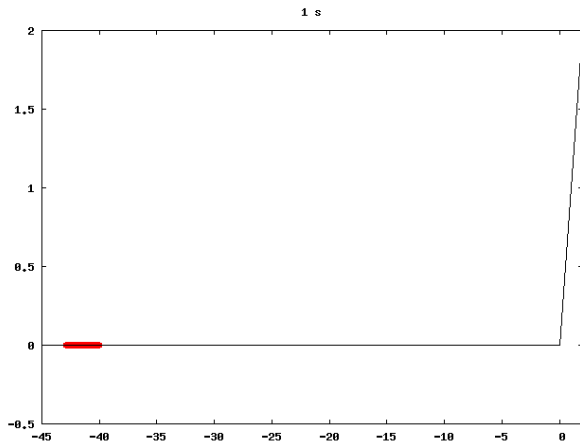
Ruissellement hortonien - hauteur d'eau et flux



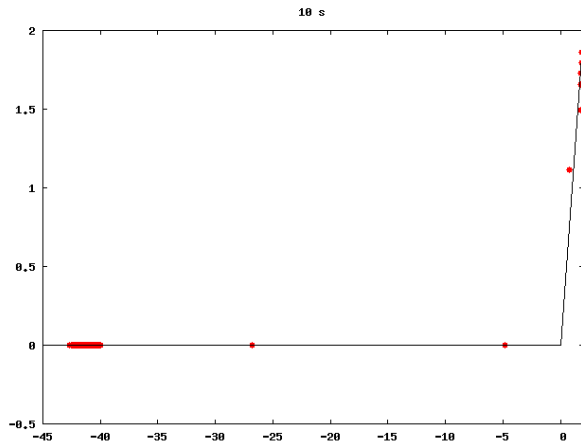
Ruissellement hortonien - hauteur d'eau et flux



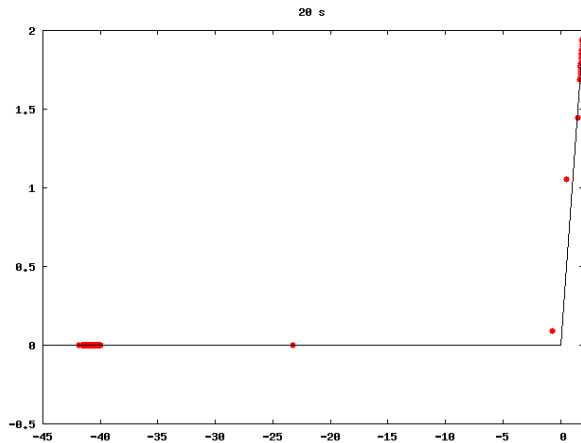
Ruissellement hortonien - nuage de points



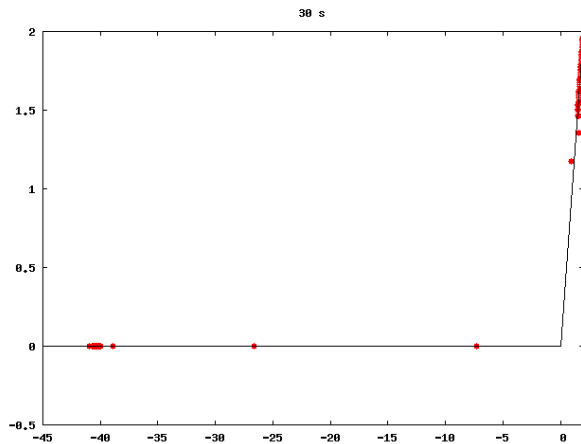
Ruissellement hortonien - nuage de points



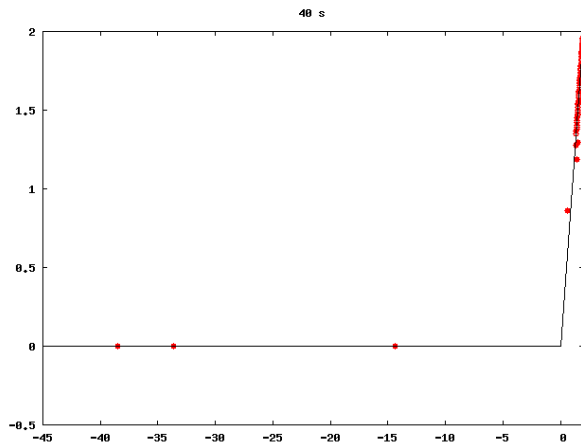
Ruissellement hortonien - nuage de points



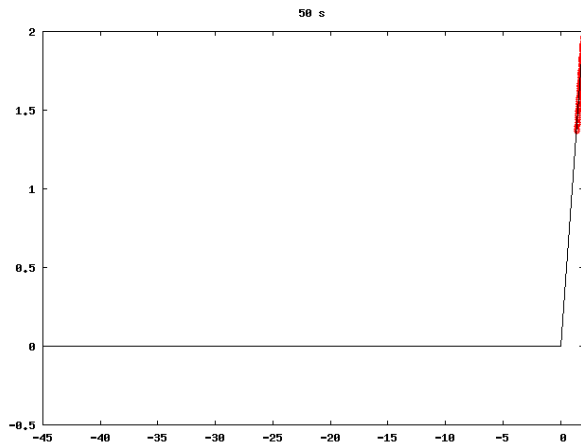
Ruissellement hortonien - nuage de points



Ruissellement hortonien - nuage de points

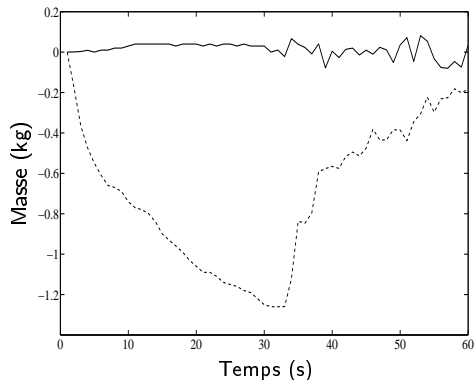


Ruissellement hortonien - nuage de points



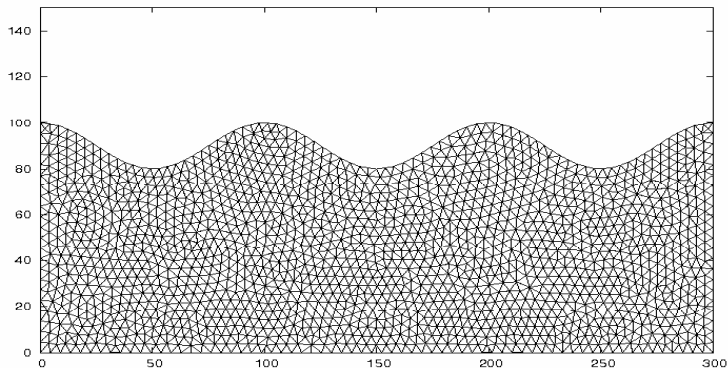
Ruissellement hortonien

Erreurs sur la conservation de la masse avec la BDF2
sans (---) et avec (—) modification des flux

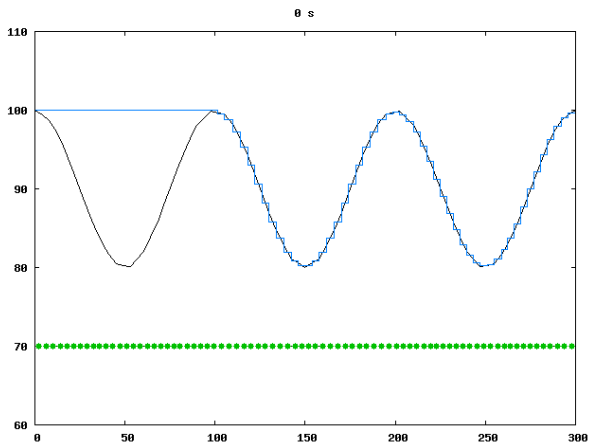


Transfert entre sillons

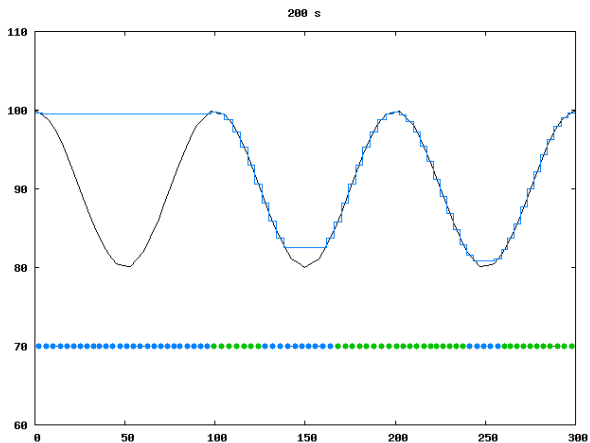
Temps total de simulation 2 heures avec $\delta t_{\text{Ric}} = 2s$ et $\delta t_{\text{SV}} = 0.2s$



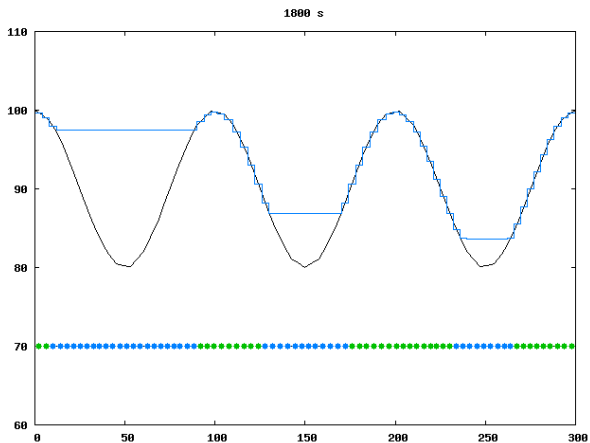
Transfert entre sillons - hauteur d'eau et flux



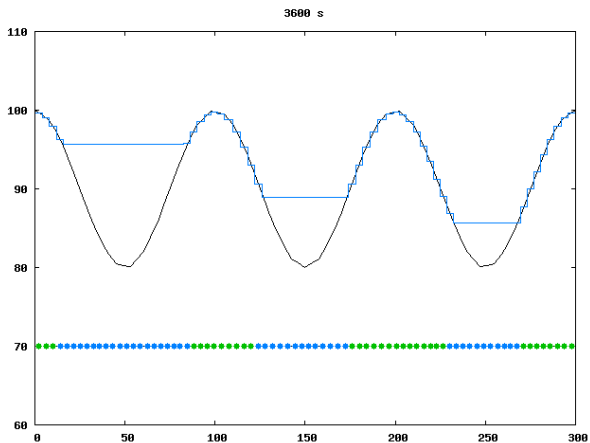
Transfert entre sillons - hauteur d'eau et flux



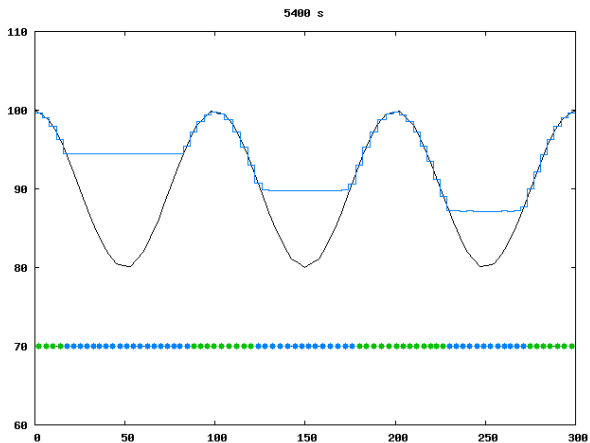
Transfert entre sillons - hauteur d'eau et flux



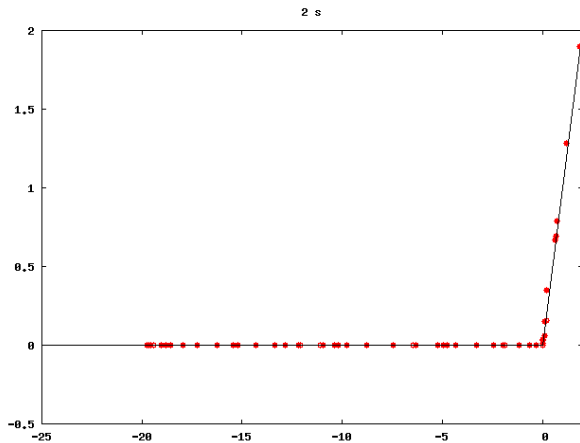
Transfert entre sillons - hauteur d'eau et flux



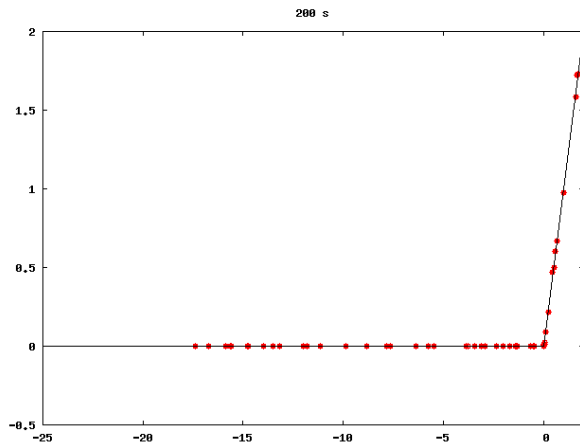
Transfert entre sillons - hauteur d'eau et flux



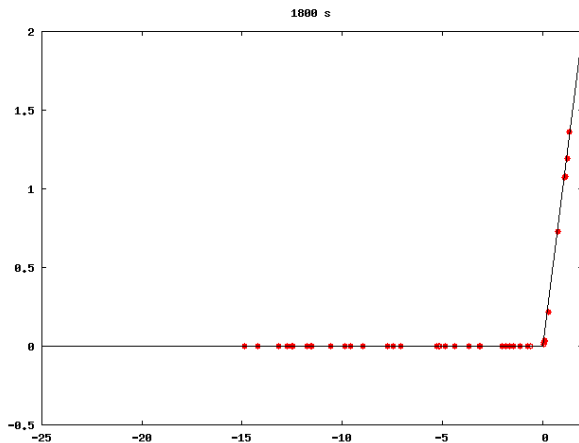
Transfert entre sillons - nuage de points



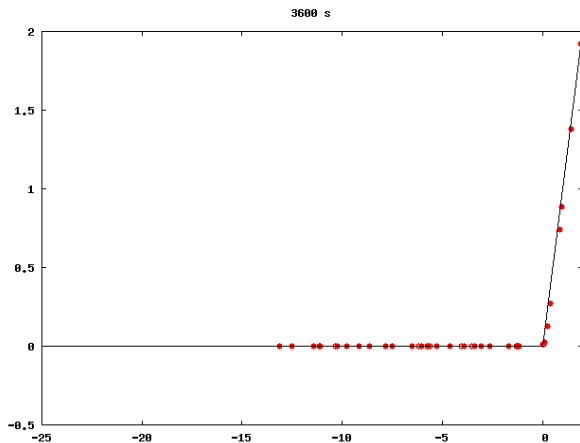
Transfert entre sillons - nuage de points



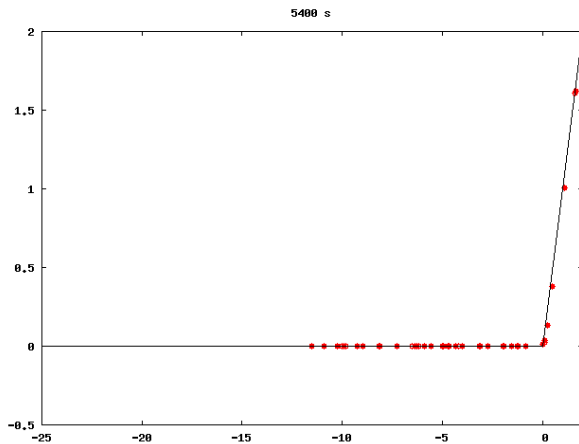
Transfert entre sillons - nuage de points



Transfert entre sillons - nuage de points



Transfert entre sillons - nuage de points

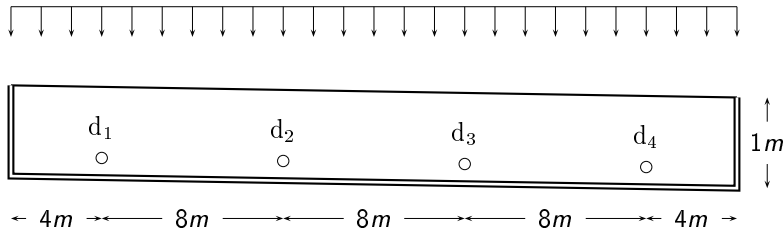


Application en hydrologie

Travail réalisé en collaboration avec B.Augeard (CEMAGREF - Antony)

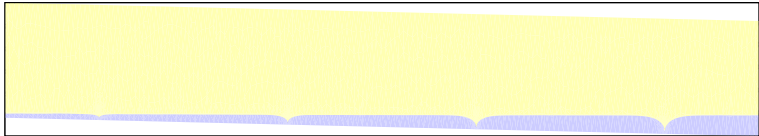
Etude d'une parcelle d'un bassin versant :

- ▶ soumise à une pluie d'intensité variable
- ▶ contenant des drains



Influence de la condition initiale

Position de la nappe
30min



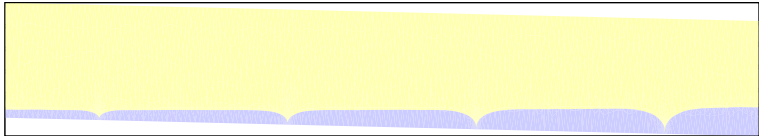
Isovaleurs de ψ horizontales



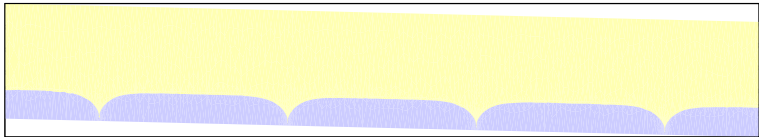
Isovaleurs de ψ parallèles au fond

Influence de la condition initiale

Position de la nappe
1h



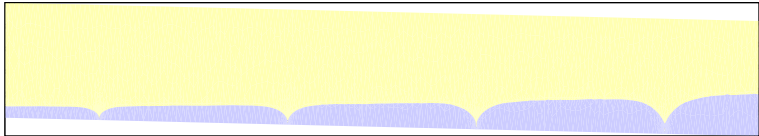
Isovaleurs de ψ horizontales



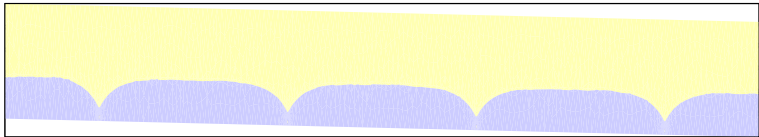
Isovaleurs de ψ parallèles au fond

Influence de la condition initiale

Position de la nappe
1h15min



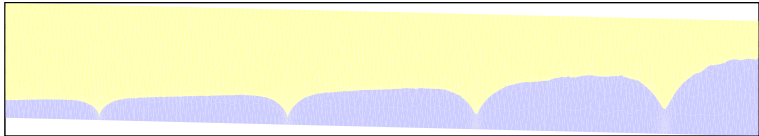
Isovaleurs de ψ horizontales



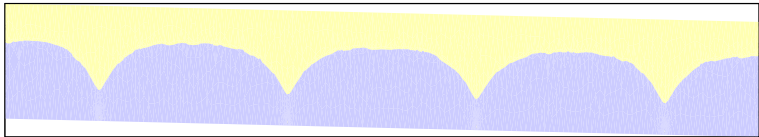
Isovaleurs de ψ parallèles au fond

Influence de la condition initiale

Position de la nappe
1h30min



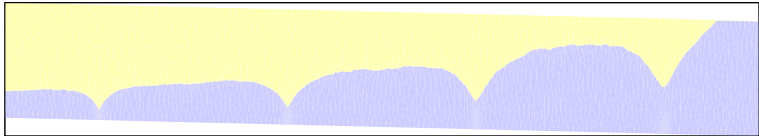
Isovaleurs de ψ horizontales



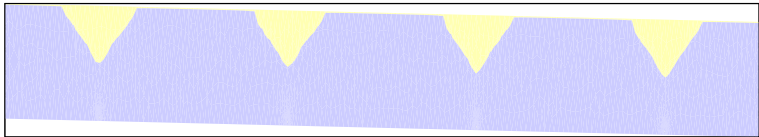
Isovaleurs de ψ parallèles au fond

Influence de la condition initiale

Position de la nappe
1h40min



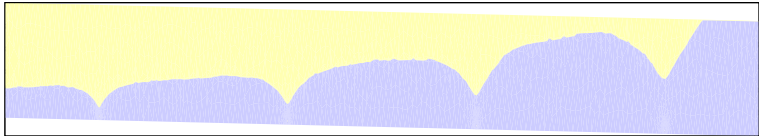
Isovaleurs de ψ horizontales



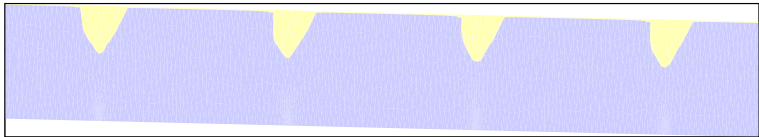
Isovaleurs de ψ parallèles au fond

Influence de la condition initiale

Position de la nappe
1h42min30s



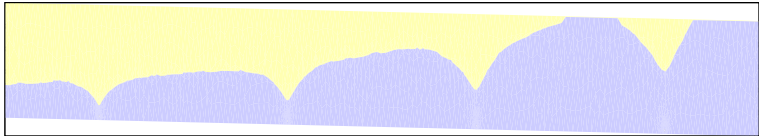
Isovaleurs de ψ horizontales



Isovaleurs de ψ parallèles au fond

Influence de la condition initiale

Position de la nappe
1h45min



Isovaleurs de ψ horizontales



Isovaleurs de ψ parallèles au fond

Influence de la condition initiale

Position de la nappe
1h47min30s

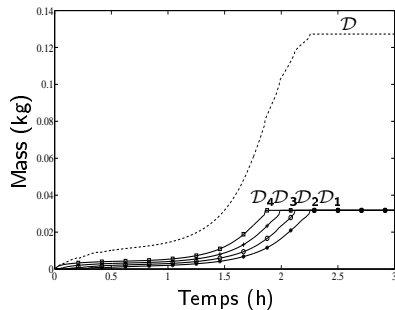


Isovaleurs de ψ horizontales

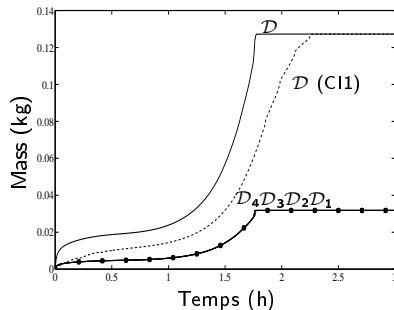


Isovaleurs de ψ parallèles au fond

Bilan de masse autour des drains



IC 1



IC 2

Hauteur

$$t_1 < t_2 < t_3 < t_4$$



Perspectives

1. Problèmes inverses
→ CI, CL
2. Etudes de sensibilité
→ propriétés hydrodynamiques, coefficient de frottement
3. Autres cas d'études (sols hétérogènes)
4. Intégrer l'évolution de la topographie z_f (équation d'Exner)

$$(1 - \phi)\partial_t z_f + \nabla \cdot q_s = 0$$

5. Extension au cas 3D-2D